

بررسی اثر مشخصات خاک در سرعت بیشینه ذرات، ناشی از کوبش شمع با استفاده از آنالیز اجزاء محدود

بهزاد سعیدی (کارشناس ارشد)

میلاد سعیدی (کارشناس ارشد)

مهدي دهستاني* (استاديار)

دانشکده هندسي عمran، دانشگاه صنعتي نوشيروانی بايل

شمع‌کوبی یکی از روش‌های رایج در اجرای پی‌های عمیق است، که به طور گستردۀ در ساختمنهای مسکونی، صنعتی، پل‌ها، بزرگراه‌ها و... استفاده می‌شود. در کنار مزایایی که استفاده از این روش دارد، فرایند شمع‌کوبی حائز آثار نامطلوبی است که مهم‌ترین آن‌ها، ارتعاشات ایجادشده در زمین است، که می‌تواند باعث آسیب به سازه‌های مجاور و تأسیسات حساس شود. رایج‌ترین شاخص برای سنجش میزان ارتعاشات ناشی از شمع‌کوبی، سرعت بیشینه‌ی ذرات خاک (PPV) است. در این نوشتار، با استفاده از نرم‌افزار اجزاء محدود 2D (plaxis)، پارامترهای مؤثر در ارتعاشات ایجادشده در سطح زمین ناشی از کوبش شمع بررسی شده است. نتایج تحلیل نشان داده است که با افزایش زاویه‌ی اصطکاک داخلی و ضریب پواسون خاک، سرعت بیشینه‌ی ذرات خاک افزایش می‌یابد؛ در حالی که افزایش مدول کشسانی، وزن مخصوص و میرایی مصالح خاک، موجب کاهش سرعت بیشینه‌ی ذرات خاک می‌شود. همچنین تغییرات دانسیته نسبی خاک، تأثیر محضوی در سرعت بیشینه نداشته است.

واژگان کلیدی: شمع‌کوبی، ارتعاشات زمین، سرعت بیشینه‌ی ذرات خاک، 2D plaxis

۱. مقدمه

خاک اطراف شمع در اثر متراکم شدن آن در فرایند کوبش شمع را نیز به همراه خواهد داشت. این موضوع باعث شده است که در سال‌های اخیر اجرای این روش در مناطق شهری منمنع شود. رایج‌ترین شاخص برای سنجش میزان ارتعاشات ناشی از شمع‌کوبی، سرعت بیشینه‌ی ذرات خاک (PPV) است. PPV بیشینه‌ی سرعتی از فعالیت‌های آئینه‌های زیست‌محیطی جدیدی ارائه شده است، که انجام بعضی از کشورها آئینه‌های زیست‌محیطی کرده است. یکی از فعالیت‌های عمرانی ارتعاشات های ساخت و ساز را محدود یا منمنع کرده است. شمع‌کوبی روشی متدالول در ساخت پی‌ها در مناطقی است که خاک سطحی مقاومت کافی ندارد و یا بارهای وارده از روسازه، مقادیر بزرگی باشند. در کنار مزایایی که استفاده از این روش دارد، فرایند شمع‌کوبی آثار نامطلوبی نیز دارد. مهم‌ترین تأثیر نامطلوب شمع‌کوبی، که ناشی از ضربات چکش شمع‌کوب است، ارتعاشات حاصل از آن است؛ که علاوه بر ایجاد مزاحمت برای ساکنان منطقه، در سازه‌های مجاور و تأسیسات حساس نسبت به ارتعاش تأثیر نامطلوب می‌گذارد و همچنین عواقبی نظیر: احتمال تورم، چگالش، نشست دائمی، و یا تغییر مکان جانی

* نویسنده مسئول

تاریخ: دریافت ۵/۸/۱۳۹۲، اصلاحیه ۲۵/۱۲/۱۳۹۲، پذیرش ۷/۲/۱۳۹۳.

[۱] یکی از امواجی که در اثر کوبش شمع
جانبی ناشی از فرایند شمع‌کوبی ارائه شود.

میرایی کاهش می‌یابد.^[۷] پژوهشگران دیگری نیز در سال ۲۰۱۲ با استفاده از نرم‌افزار Abaqus به بررسی برخی پارامترهای مؤثر از جمله: مشخصات شمع، مشخصات خاک و مشخصات چکش در سرعت بیشینه‌ی ذرات خاک ناشی از کوبش شمع پرداخته‌اند و به این نتیجه رسیده‌اند که برای فواصل بیشتر از ۵ متر از محل کوبش شمع، سرعت بیشینه‌ی ذرات خاک در عمق نفوذ ۴/۵ تا ۵/۵ متر از شمع خنجری دهد و همچنین سرعت بیشینه‌ی ذرات خاک با افزایش نیروی شمع کوب و افزایش قطر و اصطکاک شمع و خاک افزایش و با افزایش مدول کشسانی خاک کاهش می‌یابد.^[۸] در این نوشتار، ابتدا به اعتبارسنجی نرم‌افزار ۲D Plaxis^[۹] با استفاده از نتایج یک مورد آزمایشگاهی کوبش شمع، که در سایت Chennai^[۱۰] انجام شده بود، و سپس به بررسی پارامترهای مؤثر خاک از جمله: دانسیته نسبی، مدول کشسانی، میرایی مصالح، وزن مخصوص، زاویه‌ی اصطکاک داخلی خاک و ضربه پواسون در ارتعاشات ایجادشده در سطح زمین ناشی از کوبش شمع پرداخته شده است.

۲. انتقال ارتعاشات در زمین ناشی از فرایند شمع‌کوبی

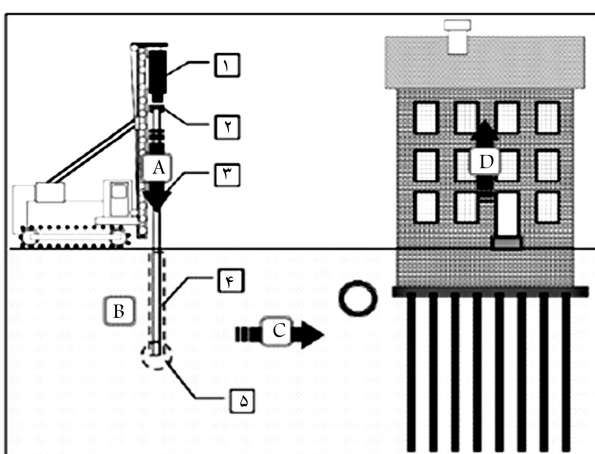
هنگامی که چکش شمع کوب بر سر شمع ضربه وارد می‌کند، موج‌های تنشی ایجاد می‌شوند که با سامد و دامنه‌ی خاصی به سمت نوک شمع خاک و سپس به سازه‌های مجاور انتشار می‌یابند. انتشار این امواج تنش در حین عملیات شمع‌کوبی، شامل ۴ مرحله‌ی اساسی است، که در شکل ۲ نشان داده شده است. بدون درنظرگرفتن کامل این زنجیره‌ی انتقال ارتعاشات، درک صحیح و کاملاً از دلایل مشکلات ناشی از شمع‌کوبی میسر نخواهد شد. ۴ مرحله‌ی مذکور به این شرح است:

۱. انتشار موج در شمع، به این صورت که انرژی ایجادشده در اثر ضربه چکش در سر شمع و کلاهک شمع از طریق شمع به سمت نوک شمع منتقل می‌شود.
۲. اندرکش خاک و شمع در طول جداره شمع و همچنین در نوک آن.
۳. انتشار موج در زمین، انتقال ارتعاشات از طریق لایه‌های خاک و آب زیرزمینی.
۴. اندرکش دینامیکی خاک و سازه، عکس العمل دینامیکی پی‌ها، توسعه‌ی ارتعاشات در سازه‌ها.^[۱۱]

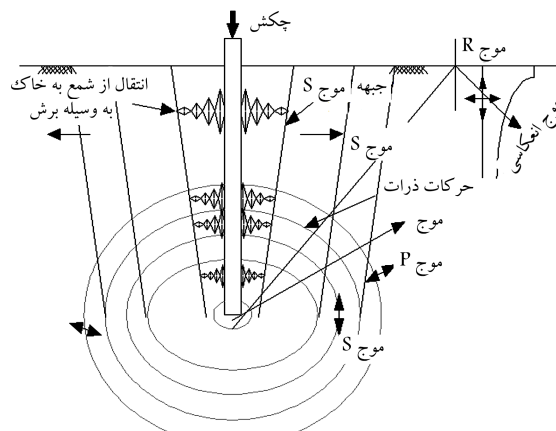
سرعت بیشینه‌ی ذرات خاک به هنگام عبور امواج (PPV)، معیار اصلی سنجش ارتعاشات ایجادشده در زمین محسوب می‌شود. سرعت ذرات خاک در

در سطح زمین ایجاد می‌شود، امواج رایلی است که در مقایسه با سایر امواج سهم پیشتری در حمل انرژی حاصل از ارتعاش دارد. سرعت انتقال انرژی به خاک، در اثر ضربه به شمع بسیار بالاست و باعث ایجاد تغییرشکل‌های خمیری در میدان نزدیک می‌شود. در مورد میدان دور نیز نتایج نشان داده است که ارتعاشات ایجادشده باعث ایجاد تغییرشکل‌های در محدوده‌ی ارجاعی می‌شود.^[۲] در تحلیل مسائل شمع‌کوبی سه نوع موج در زمین مذکور می‌گیرد. چنان که در شکل ۱ نشان داده شده است، این امواج شامل: ۱. امواج کروی که از نوک شمع ساطع می‌شوند؛ ۲. امواج استوانه‌یی که به صورت جانبی از جداره شمع منتشر می‌شوند؛ ۳. امواج سطحی که از انکسار امواج در سطح زمین و در فاصله‌یی بحرانی از شمع ایجاد می‌شوند، هستند.^[۱]

امروزه استفاده از روش‌های عددی اجزاء محدود و تقاضلهای محدود به طور گسترده‌یی در مسائل ژئوتکنیکی مورد استفاده قرار می‌گیرد. یکی از نرم‌افزارهایی که براساس اجزاء محدود عمل می‌کند، نرم‌افزار ۲D plaxis است. برای اولین بار در سال ۱۹۹۴ یک مدل اجزاء محدود در تحلیل شمع‌کوبی مورد مطالعه قرار گرفته است، که در آن نتایج حاصل از کوبش یک شمع بتنی در خاک رسی عادی تحقیک یافته‌ی زهکشی نشده ارائه شده است.^[۲] همچنین در پژوهش دیگری در سال ۲۰۰۵ نتایج حاصل از کوبش یک شمع فلزی با مدل اجزاء محدود نرم‌افزار ۲D Plaxis مقایسه شده است. در مدل مذکور، شمع و خاک اطراف آن به ترتیب به صورت ارجاعی و کشسان خمیری مدل شده‌اند. شتاب قائم بیشینه‌ی ذرات خاک، حاصل از آنالیز عددی سازگاری خوبی با نتایج مدل آزمایشگاهی داشته است، اما شتاب افقی بیشینه‌ی ذرات خاک در حدود ۲۰٪ بیشتر از نتایج مدل آزمایشگاهی بوده است.^[۲] همچنین در مطالعه‌ی دیگری در سال ۲۰۰۸، مدل سازی‌های مشابه از آزمایش‌های دینامیکی شمع با استفاده از نرم‌افزار ۲D Plaxis انجام شده است.^[۱۲] پژوهشگران دیگری نیز در سال ۲۰۰۸، با استفاده از نرم‌افزار ۲D Plaxis به بررسی اثر ترانشه‌های پرداخته با یعنی در کاهش سرعت ارتعاش ذرات خاک، ناشی از کوبش شمع پرداخته‌اند و به این نتیجه رسیده‌اند که ترانشه‌ی پرشده با یعنی با ابعاد ۴×۳D در فاصله‌ی ۹D (که D برابر با قطر شمع است)، از محل کوبش شمع مؤثرترین حالت برای کاهش امواج قائم را لیله است.^[۱۳] همچنین در پژوهشی در سال ۲۰۱۱، با استفاده از نرم‌افزار ۲D Plaxis به بررسی برخی پارامترهای مؤثر در سرعت بیشینه‌ی ذرات از جمله: مدول کشسانی، میرایی و تعداد ضربات شمع کوب پرداخته شده و این نتیجه به دست آمده است که سرعت بیشینه‌ی ذرات با افزایش مدول کشسانی خاک و



شکل ۲. انتقال ارتعاشات از چکش تا سازه‌های مجاور از طریق خاک.^[۱۱]



شکل ۱. امواج ساطع شده در اثر فرایند شمع‌کوبی.

آئین نامه‌ی سوئد (SS ۱۱۰ ۵۲ ۰) که یکی از رایج‌ترین استانداردهای موجود در این زمینه است،^[۱۳] مقادیر مجاز ارتعاش را برای جلوگیری از آسیب به ساختمان‌ها ارائه کرده است، که در صورت بیشتر بودن سرعت ارتعاشات از این مقادیر، آسیب‌های جذبی به ساختمان‌ها و پی آنها وارد خواهد شد. مطابق رابطه‌ی ۴، سرعت ارتعاشات در این آئین نامه به جنس خاکی که شمع در آن کوییده می‌شود، جنس شمع، نوع ساختمان، مصالح ساختمان و نوع پی وابسته است:

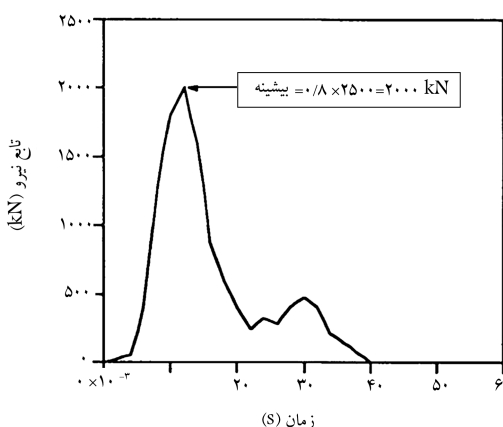
$$v = v_r F_b F_m F_g \quad (4)$$

در رابطه‌ی مذکور، v مؤلفه‌ی عمودی سرعت ارتعاش، v_r سرعت ارتعاشات با توجه به نوع خاک، F_b شاخص ساختمان است، که از $۰/۵$ برای سازه‌های حساس تا $۱/۷$ برای سازه‌های سنگین متغیر است. F_m شاخص مصالح ساختمان است، که از $۰/۶۵$ برای مصالح آهکی تا $۱/۲$ برای فولاد، بتن مسلح، و چوب متغیر است و F_g شاخص پی است که با توجه به نوع پی از $۰/۶$ برای پی‌های گستردگی تا ۱ برای پی‌های شمعی با مقاومت نوک متغیر است.

۴. اعتبارسنجی مدل عددی

اعتبارسازی نرم افزار اجزاء محدود با نتایج حاصل از کوشش شمع که در پژوهشی در سال ۲۰۰۴ گزارش شده است،^[۱۰] انجام شده است. شمع موردنظر از جنس فولاد با ضخامت جداره ۲۵ میلی‌متر و طول و قطری به ترتیب برابر با $۱۵/۸$ و $۰/۶$ متر است، که با ضربه‌ی چکشی با ظرفیت ۴۱ کیلونیوتون و ارتفاع سقوط $۲/۵$ متر به تدریج در خاک ماسه‌ی فرو می‌رود. جهت شبیه‌سازی ضربات چکش بر سر شمع، بار نقطه‌ی بر سر شمع اعمال شده است. آنالیز دینامیکی مدل با بازه‌ی زمانی $۰/۰۰۱$ و به مدت ۱ ثانیه انجام شده است. شکل ۳، نمودار نیرو - زمان اعمال شده بر سر شمع را نشان می‌دهد. خاک همگن و یکنواخت به عمق ۲۰ متر و بعد جانبه ۴۰ متر مدل سازی شده است. مشخصات مورد نیاز شمع و خاک جهت انجام آنالیز عددی در جدول ۱ ارائه شده است.

شکل ۴، مقادیر بیشینه‌ی شتاب افقی ذرات خاک را در فاصله‌ی ۳ متری از محل کوشش در سطح زمین نشان می‌دهد. با توجه به شکل مذکور ملاحظه می‌شود که نتایج حاصل از آنالیز عددی سازگاری قابل قبولی با نتایج آزمایشگاهی دارد.



شکل ۳. نمودار نیرو - زمان اعمال شده بر سر شمع.^[۱۵]

هر لحظه شامل سه مؤلفه‌ی برداری عمود بر هم است، که توسط ژئوفون‌های سه محوری اندازه‌گیری می‌شود. سه مؤلفه‌ی سرعت را می‌توان در یک مقدار برداری با درنظرگرفتن سرعت‌های شعاعی، عرضی، و قائم در هر لحظه‌ی زمانی با هم ترکیب کرد. از ترکیب آنها مقدار سرعت بیشینه‌ی ذرات خاک PPV به دست می‌آید، که در رابطه‌ی ۱ نشان داده شده است:

$$PPV = \sqrt{(v_r^2 + v_t^2 + v_s^2)} \quad (1)$$

که در آن، v_r سرعت شعاعی، v_t سرعت عرضی و v_s سرعت درجهت قائم است.^[۱۱]

۳. مروری بر روابط موجود

اثرات دینامیکی شمع‌کوبی روی ساختمان‌های مجاور به پارامترهایی از جمله: سیستم شمع‌کوبی، نوع خاک، فاصله از منبع ارتعاش، برهکش خاک - سازه، شرایط ساختمان‌ها، نحوه انتشار امواج از طریق خاک و ساخته‌های دیگر بستگی دارد. در ابتدا تئوری‌هایی که در مورد ارتعاشات زمین ارائه شدند، مربوط به ارتعاشات زمین ناشی از انفجار سنگ بودند. اندازه‌گیری‌های صحرایی ارتعاشات ایجاد شده در سطح زمین نشان می‌داد که بزرگی این ارتعاشات متناسب با انرژی آزاد شده در انفجار است. در پژوهشی در سال ۱۹۷۳، نتایج اندازه‌گیری ارتعاشات زمین در خاک‌های مختلف، که در آنها شمع‌کوبی صورت گرفته بود، تحلیل و رابطه‌ی بر مبنای انرژی پیشنهاد شد و به کمک آن سرعت ارتعاش (v) در فاصله‌ی r از منبع ارتعاش و براساس انرژی شمع تخمین زده شد (رابطه‌ی ۲):^[۱۲]

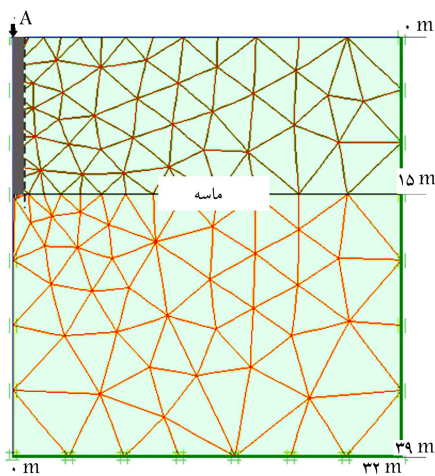
$$v = k \left(\sqrt{E/r} \right) \quad (2)$$

که در آن، v سرعت ارتعاش، E انرژی وارد از منبع، k یک ضریب تجربی برای ارتعاشات است؛ که از $۰/۳$ تا $۰/۴$ متغیر است. با وجود این که رابطه‌ی مذکور هنوز توسط مهندسان در فعالیت‌های عمرانی به کار برده می‌شود، اما استفاده از رابطه‌ی ذکرشده و پیش‌بینی ارتعاشات زمین براساس آن با اشکال‌آلی همراه است. از جمله اینکه در آن جهت سرعت ارتعاشات (قائم، افقی، یا برآیند مؤلفه‌ها) مشخص نشده است و این رابطه مستقل از نوع و سختی خاک است. همچنین مشخص نیست که انرژی چکش مدنظر، انرژی اسمی چکش و یا مقدار انرژی منتقل شده به شمع است.

یکی دیگر از روابطی که در منابع ژئوتکنیکی به آن زیاد اشاره شده است، در پژوهشی در سال ۱۹۸۱ ارائه شده است.^[۱۳] این رابطه مشابه رابطه‌ی ۲ است و در آن سرعت بیشینه‌ی ذرات به صورت تابعی از فاصله از محل شمع‌کوبی بیان شده است (رابطه‌ی ۳):

$$v = K \left(D/\sqrt{E} \right)^{-n} \quad (3)$$

که در آن، v سرعت بیشینه‌ی ذرات، D فاصله از محل شمع‌کوب، E انرژی وارد از منبع و K یک ضریب تجربی برای ارتعاشات است. در رابطه‌ی ۳، مقدار n بین مقادیر ۱ تا ۲ است و معمولاً مقدار میانگین $۱/۵$ برای آن در نظر گرفته می‌شود.^[۱۳] در صورتی که در رابطه‌ی ۳ مقدار ضریب n برابر ۱ در نظر گرفته شود، مقدار k و K در روابط ۲ و ۳ یکسان خواهند شد.



شکل ۵. مدل عددی کوبش شمع.

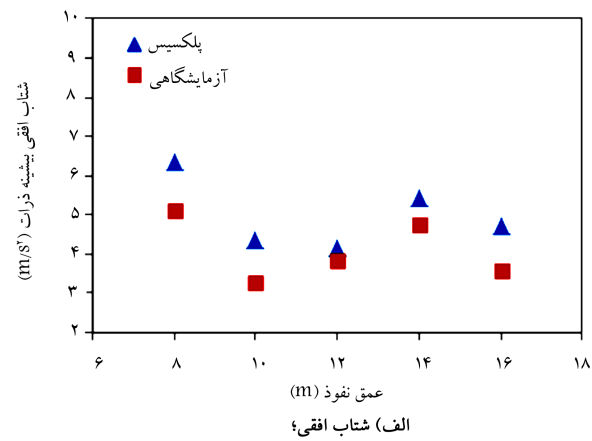
جدول ۲. مشخصات مورد نیاز خاک و شمع جهت انجام آنالیز

شمع	پارامتر	مساهه	خاک سخت شونده	ارتجاعی خطی
وزن مخصوص (KN/m³)	مدل		خاک سخت شونده	ارتجاعی خطی
24×10^4	وضعیت		بدون تخلخل	
۲۴	(KPa)	۱۷		
3×10^4	(KPa)	۴۰		
—	(KPa)	۱		
—	(KPa)	۳۲		
۰/۲	(KPa)	۰/۳		
۱	(KPa)	۰/۷		
	ضریب پواسون			
	ضریب کاهش سطح مشترک			

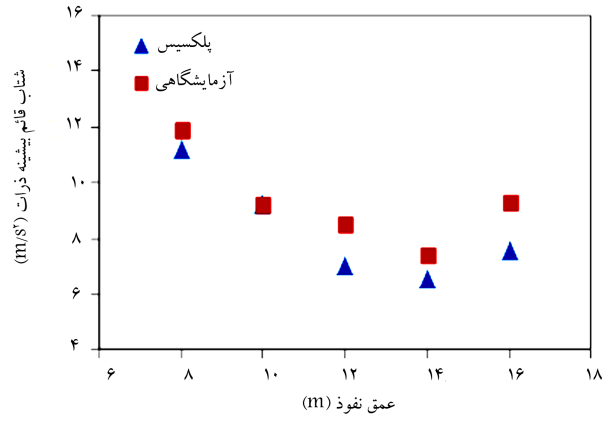
است. شمع و خاک توسط المان های ۱۵ گرهی مدل سازی شده اند. برای شمع مدل رفتاری ارجاعی خطی و غیرمتخلخل و برای خاک ماسه بی نیز مدل رفتاری خاک سخت شونده در نظر گرفته شده است. مشخصات خاک و شمع در جدول ۲ آرائه شده است. به منظور مدل کردن اندرکنش بین خاک - شمع از المان های حد واسط اطراف شمع استفاده شده است. المان های حد واسط در حدود ۰/۵ متر در زیر نوک شمع گسترش یافته است، تا بتوان اندرکش خاک و شمع را جهت درنظر گرفتن میرایی مصالح، که از لغزش خاک اطراف شمع در مدت تداخل ناشی می شود، به درستی شبیه سازی کرد.^[۱] مرزهای مدل به منظور جلوگیری از ایجاد بازتاب های نامطلوب ارتعاشات، از نوع مرزهای جاذب انرژی استاندارد در نظر گرفته شده است، که در پایین و سمت راست مدل امتداد یافته است. به منظور مدل کردن نیروی شمع کوب، بار گستردۀ در بالای شمع اعمال شده است. در انتهای با اعمال شرایط اولیه، آنالیز دینامیکی مستانه شروع شده است. آنالیز مستانه شامل سه فاز محسوساتی بوده است. در فاز نخست شمع ساخته شده و مشخصات بتن به آن اختصاص داده شده است. در فاز دوم، بارگذاری نقطه بی مشابه بارگذاری بخش ۳ و با تابع نیرو زمان نشان داده شده در شکل ۳ به سر شمع اعمال شده است. در فاز سوم بار صفر نگه داشته شده و پاسخ دینامیکی خاک و شمع در اثر ضربه در مدت زمان ۱ ثانیه مونیتور شده است. فازهای دوم و سوم شامل محاسبات دینامیکی بوده است.

 جدول ۱. مشخصات مورد نیاز خاک و شمع جهت اعتبارسازی نرم افزار.^[۶]

پارامتر	شمع	مساهه	خاک سخت شونده	ارتجاعی خطی
وضعیت			بدون تخلخل	
وزن مخصوص (KN/m³)	۷۸/۹	۱۷/۹		
مدول کشسانی (KPa)	$2/1 \times 10^8$	۲۹۰۰۰		
چسبندگی (KPa)	—	۱		
زاویه اصطکاک داخلی (درجه)	—	۳۱		
ضریب پواسون	۰/۳	۰/۴		



(الف) شتاب افقی؛

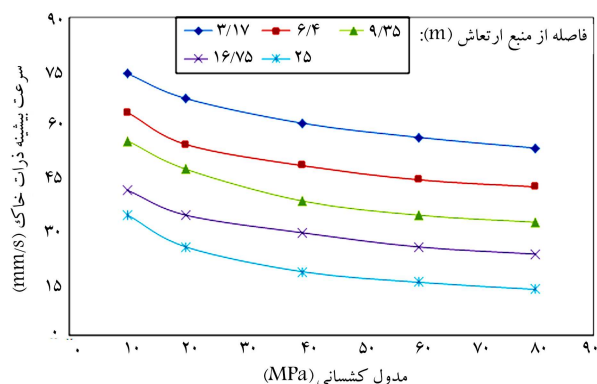


(ب) شتاب قائم؛

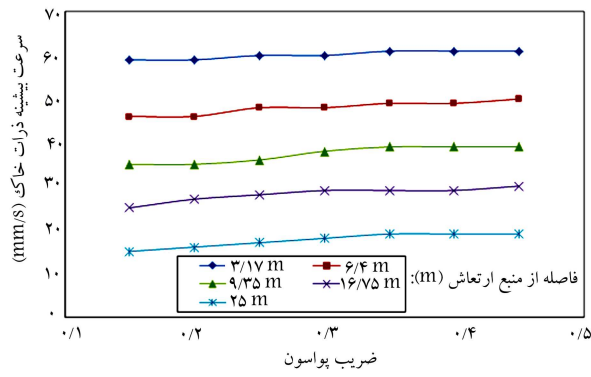
شکل ۴. مقادیر بیشینه شتاب ذرات خاک در فاصله‌ی ۳ متری از محل کوبش در سطح زمین.

۵. فرایند مدل سازی عددی

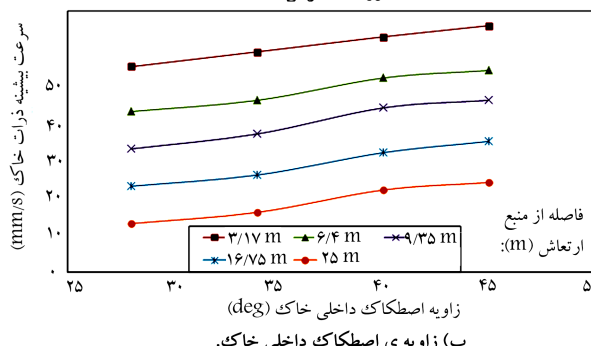
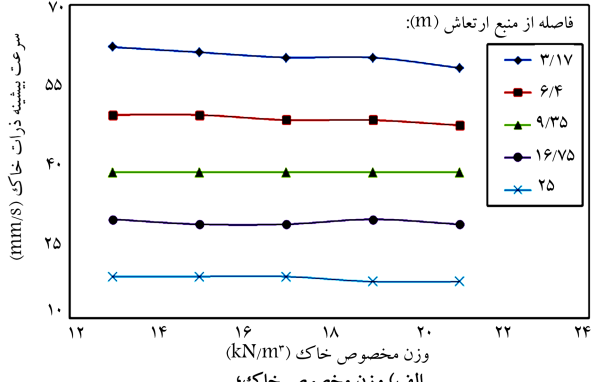
شکل ۵، فرایند مدل سازی عددی کوبش یک شمع بتنی پیش ساخته با طول ۱۵ متر و قطر ۰/۵ متر را در خاک ماسه بی نشان می دهد. به منظور ناقص کردن اثرات مرزی در رفتار شمع، مدل ساخته شده به اندازه D ۷۵D از اطراف شمع و به اندازه D ۶۰ از زیر نوک شمع ادامه یافته است (D قطر شمع است). مدل سازی به عمل تقارن هندسه و بارگذاری، به صورت تقارن محوری انجام شده است و همان طور که در شکل ۵ ملاحظه می شود، فقط نیمی از شمع و خاک اطراف آن مدل شده



شکل ۶. مقادیر سرعت بیشینه‌ی ذرات در برابر مدول کشسانی خاک در فواصل مختلف از شمع.



شکل ۷. مقادیر سرعت بیشینه‌ی ذرات در برابر ضریب پواسون خاک در فواصل مختلف از شمع.



شکل ۸. مقادیر سرعت بیشینه‌ی ذرات در فواصل مختلف از شمع.

۶. بررسی اثر پارامترهای مختلف خاک در سرعت بیشینه‌ی ذرات

سرعت بیشینه‌ی ذرات خاک به پارامترهای مهمی مانند: جنس خاک، جنس شمع، مشخصات شمع کوب، میرایی مصالح و اندرکش خاک و شمع بستگی دارد. در این بخش به بررسی اثر پارامترهای خاک ماسه‌یی در سرعت بیشینه‌ی ذرات پرداخته شده است.

۱.۶. مدول کشسانی خاک

در این بخش با استفاده از آنالیز اجزاء محدود به بررسی اثر مقادیر مختلف مدول کشسانی خاک (با فرض ثابت بودن سایر پارامترها) در سرعت بیشینه‌ی ذرات خاک در سطح زمین به علت ارتعاشات ایجاد شده ناشی از شمع کوبی پرداخته شده است. بدین منظور مدل عددی ساخته شده در بخش ۵ برای مقادیر مختلف مدول کشسانی خاک در محدوده ۱۰ تا ۸۰ مگاپاسکال تحلیل شده است. سایر مشخصات شمع و خاک مطابق جدول ۲ است. شکل ۶، نتایج حاصل از تحلیل عددی را نشان می‌دهد. همان‌طور که در شکل مذکور ملاحظه می‌شود، با افزایش مدول کشسانی خاک، سرعت بیشینه‌ی ذرات خاک کاهش یافته است. با توجه به روابط موجود در متابع معتبر در زمینه‌ی گسترش تنش و امواج در محیط‌های ارتجاعی، سرعت بیشینه‌ی ذرات محیط در اثر عبور امواج تنشی در محیط‌های ارتجاعی از رابطه‌ی ۵ محاسبه می‌شود:^[۱۶]

$$V = \frac{\sigma}{\rho v_c} \frac{\sigma}{\sqrt{\rho E}} \quad (5)$$

که در آن، σ تنش فشاری، ρ جرم مخصوص محیط و v_c سرعت انتشار موج فشاری در محیط و E مدول ارتجاعی است. مطابق رابطه‌ی مذکور مشخص است که سرعت بیشینه‌ی ذرات با ریشه‌ی دوم مدول ارتجاعی خاک رابطه‌ی معکوس دارد و افزایش مدول ارتجاعی موجب کاهش سرعت بیشینه می‌شود.

۲.۶. اثر ضریب پواسون خاک

در این بخش به بررسی تغییرات سرعت بیشینه‌ی ذرات خاک، در اثر تغییرات ضریب پواسون خاک پرداخته شده است. شکل ۷، تغییرات سرعت بیشینه‌ی ذرات خاک در برابر مقادیر مختلف ضریب پواسون و تمایل خاک به سمت رفتار خمیری، دامنه‌ی حرکتی ذرات و در نتیجه، سرعت بیشینه‌ی ذرات خاک نیز افزایش یافته است.

۳.۶. وزن مخصوص و زاویه‌ی اصطکاک خاک

در این بخش ابتدا خاک‌هایی با وزن‌های مخصوص برابر با ۱۴، ۱۵، ۱۳، ۱۹، ۱۷، ۱۵ و ۲۱ کیلونیوتن بر مترمکعب مورد بررسی قرار گرفته است. شکل ۸، نتایج مربوط به این متغیر را نشان می‌دهد. همان‌طور که در شکل مذکور ملاحظه می‌شود، افزایش وزن مخصوص به‌طور سیار نامحسوس موجب کاهش سرعت بیشینه‌ی ذرات شده است، به گونه‌یی که می‌توان از اثر این پارامتر صرف‌نظر کرد. مطابق رابطه‌ی ۵ نیز قابل درک است که تغییرات جزئی در مقادیر وزن مخصوص خاک نمی‌تواند تأثیر چشمگیری در مقدار سرعت بیشینه داشته باشد.

شکل ۸، نیز اثر تغییرات زاویه‌ی اصطکاک داخلی خاک برای مقادیر ۲۸،

است. مؤلفه‌ی ویسکوز میرایی با نسبت میرایی اولیه بیان می‌شود و مستقل از مدول برشی خاک است و در معادله‌ی نسبت میرایی به صورت یک پارامتر ثابت فرض می‌شود. مؤلفه‌ی هیسترزیس میرایی به سطح کرنش‌های برشی سیکلیک وابسته است. در این نوشتار از رابطه‌ی ۶ جهت تعیین نسبت میرایی استفاده شده است:

$$\xi = \frac{\gamma}{\gamma + \gamma_r} \quad (6)$$

که در آن، γ نسبت میرایی اولیه، γ_{max} نسبت بیشینه‌ی میرایی هیسترزیس، γ_r کرنش برشی مرجع خاک و γ کرنش برشی سیکلیک خاک است. در پژوهشی در سال ۲۰۰۶، نیز نسبت میرایی اولیه و بیشینه‌ی میرایی هیسترزیس به صورت روابط ۷ و ۸ معرفی شده است:^[۱۷]

$$\xi \leq 5,8 \quad (7)$$

$$\xi_{max}(\%) \geq 0,0 \quad (8)$$

در خاک ماسه‌یی به دلیل اینکه مقدار PI برابر صفر است، مقدار γ برابر $1/15\%$ و مقدار γ_{max} برابر با 16% خواهد شد. مقادیر کمیته و بیشینه‌ی γ به ترتیب برابر با $1/5\%$ و $17/5\%$ است. در Plaxis نسبت میرایی مصالح به صورت رابطه‌ی ۹ بیان شده است:

$$[C] = \alpha[M] + \beta[K] \quad (9)$$

که در آن، $[C]$ ماتریس میرایی، $[M]$ ماتریس جرم و $[K]$ ماتریس سختی است. α و β ضرایبی هستند که به ترتیب تأثیر جرم و سختی در میرایی را بیان می‌کنند. در Plaxis این دو پارامتر جهت لحاظ‌کردن میرایی مورد نیاز هستند. همچنین در مطالعه‌ی دیگری در سال ۲۰۱۰، رابطه‌ی ۱۰ جهت محاسبه‌ی ضرایب α و β پیشنهاد شده است:^[۱۸]

$$\begin{bmatrix} \alpha \\ \beta \end{bmatrix} = \frac{\xi}{\pi(f_m + f_n)} \begin{bmatrix} 4\pi^2 f_m f_n \\ 1 \end{bmatrix} \quad (10)$$

که در آن، m و n تعداد مدل ارتعاشی و f_m و f_n بسامد طبیعی در مدل ارتعاشی متناظر هستند، که از طریق رابطه‌ی ۱۱ به دست خواهد آمد. این تذکر لازم است f_m بسامد طبیعی در مدل اول است:

$$f_n = \frac{v_s}{4h(2i-1)} \quad (11)$$

در رابطه‌ی اخیر، v_s برابر با سرعت موج برشی در خاک و h ضخامت لایه‌ی خاک است. معمولاً بسامد اول را در مود ارتعاشی اول و بسامدهای بعدی را در مودهای ارتعاشی بعدی انتخاب می‌کنند. در این آنالیز تعداد مودهای ارتعاشی برابر با ۱ در نظر گرفته شده است، بنابراین مقادیر f_m و f_n با هم برابر شده‌اند. پس از محاسبه‌ی نسبت میرایی با استفاده از روابط ذکر شده، به بررسی تأثیر اثر آن در ارتعاش ذرات پرداخته شده است. بدین منظور ۵ مقدار مختلف نسبت میرایی در نظر گرفته شده و اثر آن در استهلاک امواج حاصله از کوبش شمع مورد بررسی قرار گرفته است. ضرایب α و β متناظر با نسبت میرایی‌های مختلف برای میرایی رایله، در جدول ۴ فهرست شده‌اند.

شکل ۱۰، نتایج حاصل از تحلیل را نشان می‌دهد. بر این اساس که با افزایش میرایی، به علت استهلاک انرژی امواج، سرعت بیشینه‌ی ذرات کاهش یافته است. با افزایش فاصله از منبع ارتعاش اثر نسبت میرایی در سرعت بیشینه‌ی

۴۰ و ۴۵ درجه را نشان می‌دهد. مطابق شکل مذکور مشخص است که افزایش زاویه‌ی اصطکاک خاک موجب افزایش سرعت بیشینه‌ی خاک شده است.

۴.۶. دانسیته نسبی خاک

به منظور بررسی اثر دانسیته نسبی خاک در مقادیر سرعت بیشینه‌ی ارتعاشات خاک، تحلیل عددی بر روی خاک‌هایی با دانسیته نسبی ۱۵٪، ۳۵٪، ۶۵٪ و ۸۰٪ که به ترتیب بیانگر خاک شل، متوسط، متراکم، و خیلی متراکم است، انجام شده است. پارامترهای متناظر با دانسیته‌های نسبی مختلف در جدول ۳ ارائه شده است. شکل ۹، مقادیر سرعت بیشینه‌ی ذرات خاک را در مقادیر مختلف تراکم خاک نشان می‌دهد. با توجه به شکل شاید بتوان گفت که سرعت بیشینه‌ی ذرات تقریباً مستقل از مقادیر دانسیته نسبی خاک است. علت این موضوع می‌تواند اثر متقابل زاویه‌ی اصطکاک داخلی خاک و مدول کشسانی خاک در سرعت بیشینه‌ی ذرات خاک باشد.

۵.۶. اثر نسبت میرایی خاک

میرایی خاک نقش مهمی در استهلاک انرژی امواج بازی می‌کند. تعیین نسبت میرایی به دلیل اینکه تحت تأثیر پارامترهایی همچون: سطح کرنش برشی و مشخصات خاک است، مشکل است، از این‌رو در ابتداء نحوی تعیین نسبت میرایی خاک توضیح داده می‌شود، سپس به بررسی تأثیر آن در ارتعاشات زمین با استفاده از تحلیل عددی پرداخته شده است. نسبت میرایی خاک ترکیبی از مؤلفه‌های چسبندگی و هیسترزیس

جدول ۳. مشخصات خاک با دانسیته نسبی مختلف.

پارامتر	۸۵	۶۵	۳۵	۱۵	وزن مخصوص (KN/m ³)
مدول کشسانی (MPa)	۲۱	۱۹,۲	۱۶	۱۳	۴۰
چسبندگی (KPa)	۸۰	۴۰	۲۰	۱۰	۱
زاویه‌ی اصطکاک داخلی (درجه)	۳۸	۲۵	۲۹	۲۶	۱۷
نسبت تخلخل	۰,۴۶	۰,۵۶	۰,۶۹	۰,۷۸	

فاصله از منبع ارتعاش (m):

- ۲۵
- ۳۵
- ۴۵
- ۶۰
- ۷۵
- ۹۰

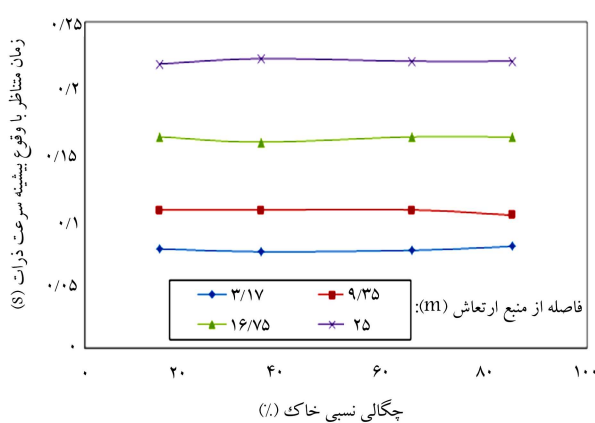
چگالی نسبی خاک (%):

- ۲۵
- ۳۵
- ۴۵
- ۶۰
- ۷۵
- ۹۰

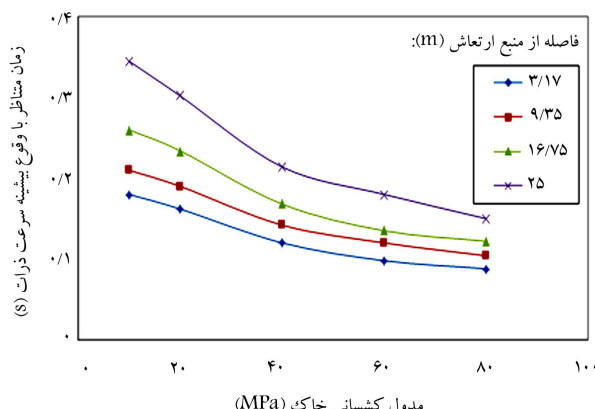
شکل ۹. مقادیر سرعت بیشینه‌ی ذرات در برابر دانسیته نسبی خاک در فواصل مختلف از شمع.

جدول ۴. ضرایب α و β برای نسبت میرایی‌های مختلف.

نسبت میرایی (%)	β	α
۱/۵	۰,۰۰ ۱۵	۰,۱۵۳۵
۵/۵	۰,۰۰ ۵۳	۰,۵۶۲۸
۹/۵	۰,۰۰ ۹۲	۰,۹۷۲۰
۱۳/۵	۰,۰ ۱۳۱	۱,۳۸۰۰
۱۷/۵	۰,۰ ۱۷۱	۱,۷۹۰۰

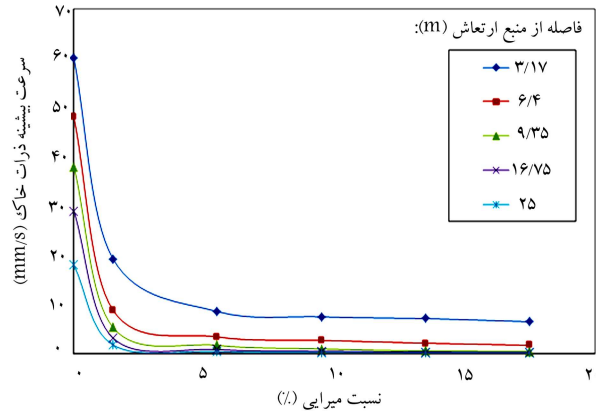


شکل ۱۱. تغییرات زمان متناظر با سرعت بیشینه‌ی ذرات در برابر مقادیر مختلف دانسیته نسبی در فواصل مختلف از منبع ارتعاش.



شکل ۱۲. تغییرات زمان متناظر با سرعت بیشینه‌ی ذرات در برابر مقادیر مختلف مدول کشسانی خاک در فواصل مختلف از منبع ارتعاش.

۳/۱۷ متری و ۲۵ متری از منبع ارتعاش، اختلاف زمانی وقوع سرعت بیشینه‌ی ذرات برای خاک با مدول کشسانی ۱۰ و ۸۰ مگاپاسکال به ترتیب برابر ۰/۰۹۲ و ۰/۰۱۹۵ ثانیه است.



شکل ۱۳. مقادیر سرعت بیشینه در برابر نسبت میرایی خاک در فواصل مختلف از شمع.

ذرات خاک به علت غالب شدن انرژی هندسی کاهش یافته است. همچنین ملاحظه می‌شود در نسبت میرایی‌های بیشتر از ۵٪، سرعت بیشینه‌ی ذرات با تغییر نسبت میرایی تقریباً ثابت باقی مانده و تأثیر آن در فواصل دورتر نیز کمتر شده است.

۷. زمان متناظر با سرعت بیشینه‌ی ذرات خاک

با بررسی تحلیل‌های صورت‌گرفته مشاهده شده است که با تغییر مشخصات خاک مانند: دانسیته نسبی، ضربه پواسون، زاویه اصطکاک داخلی، وزن مخصوص و نسبت میرایی، زمان متناظر با سرعت بیشینه‌ی ذرات خاک برای تمامی مدل‌ها تقریباً ثابت و تغییر نیافته است. فقط در حالتی که مدول کشسانی خاک تغییر یافته، زمان متناظر با سرعت بیشینه‌ی ذرات خاک نیز تغییر یافته است. علت این امر به دلیل تأثیر مدول کشسانی خاک در سرعت موج برشی و موج فشاری است. به عنوان نمونه، شکل ۱۱ تغییرات زمان متناظر با سرعت بیشینه‌ی ذرات را در برابر مقادیر مختلف دانسیته نسبی خاک نشان می‌دهد. همان‌طور که ملاحظه می‌شود، سرعت بیشینه‌ی ذرات خاک برای تمامی مقادیر دانسیته نسبی، تقریباً در یک زمان رخ داده است. با توجه به شکل ملاحظه می‌شود، با افزایش مدول کشسانی خاک، زمان متناظر با رخدادن سرعت بیشینه کاهش یافته است.

شکل ۱۲، تغییرات زمان متناظر با سرعت بیشینه‌ی ذرات را در برابر مقادیر مختلف مدول کشسانی خاک برای فواصل مختلف از منبع ارتعاش نشان می‌دهد. این اثر با افزایش فاصله از منبع ارتعاش افزایش یافته است، به طوری که در فاصله‌هی

- سرعت بیشینه‌ی ذرات خاک با افزایش فاصله از محل کویش شمع و به علت وجود میرایی هندسی در محیط کاهش می‌یابد.
- نتایج نشان داده است با افزایش مدول کشسانی خاک، سرعت بیشینه‌ی ذرات

- با افزایش نسبت میرایی به علت استهلاک امواج، سرعت بیشینه‌ی ذرات کاکش خاک کاهش می‌باید. همچنین افزایش وزن مخصوص ذرات خاک به طور نامحسوس موجب کاهش سرعت بیشینه می‌شود.
- با افزایش ضریب پواسون و زاویه اصطکاک داخلی خاک، سرعت بیشینه‌ی ذرات خاک افزایش می‌باید.
- با توجه به بررسی نتایج به دست آمده ملاحظه شد که تغییرات دانسیته نسبی خاک، تأثیر محسوسی در سرعت بیشینه‌ی ذرات خاک ندارد.

پانوشت

1. peak particle velocity

منابع (References)

1. Massarsch, K.R. and Fellenius, B.H. "Ground vibrations induced by impact pile driving", *Proc. 6th Int. Conf. on Case Histories in Geotechnical Engineering*, Arlington, Virginia, pp. 1-38 (2008).
2. Masoumi, H.R. and Degrande, G. "Numerical modeling of free field vibrations due to pile driving using a dynamic soil-structure interaction formulation", *J. Computational and Applied Mathematics*, **215**(9), pp. 503-511 (2008).
3. Mabsout, M.E., Reese, L.C. and Tassoulas, J.L. "Study of pile driving by finite-element method", *J. Geotechnical Eng.*, **121**(9), pp. 535-543 (1995).
4. Madheswaran, C.K., Sundaravadielv, R., Boominathan, A. and Natarajan, K. "Response of ground during pile driving", *J. Institution of Engineers (India), Civil Engineering Division*, **86**(6), pp. 22-27 (2005).
5. Pinto, P.L., Grazina, J.C. and Lourenco, J.C. "Evaluation of 1D and 2D numerical modelling techniques of dynamic pile testing", *Proc. of the 8th Int. Conf., On Application of Stress Wave Theory to Piles*, pp. 353-357 (2008).
6. Madheswaran, C.K., Natarajan, K., Sundaravadielv, R. and Boominathan, A. "Effect of trenches on attenuation of ground vibration during pile driving", *Proc. in Physics, Vibration Problems ICOVP*, Springer Science Proceedings, **126**(8), pp. 231-238 (2008).
7. Zhang, M. and Tao, M. "A parametric study on factors affecting ground vibrations during pile driving through finite element simulations", *J. GeoRisk., ASCE*, **224**(8), pp. 931-938 (2011).
8. Khoubani, A. and Ahmadi, M.M. "Numerical study of ground vibration due to impact Pile Driving", *Proc. ICE, Geotechnical Eng.*, **167**(1), pp. 28-39 (2012).
9. PLAXIS 2D, *Finite Element Code for Soil and Rock Analysis*, BV Plaxis -AA Balkema, User's Manual, Version 8.0, Delft (2002).
10. Madheswaran, C.K. and Thandavamoorthy, T.S. "Filed investigations on ground and structural vibrations during prototype pile driving", *Proc., 5th. Int. Con. on Case Histories in Geotechnical Engineering*, New York, Paper No. 4. 24. (CD format) (2004).
11. Bull, J.W., *Numerical Analysis and Modelling in Geomechanics*, Computational Modelling of Ground Waves Due to Pile Driving, Spon Press, London, pp. 129-164 (2003).
12. Attewell, P.B. and Farmer, I.W. "Attenuation of ground vibrations from pile driving", *Ground Engineering*, **3**(7), pp. 26-29 (1973).
13. Wiss, J.F. "Construction vibrations: State of the art", *American Society of Civil Engineering, Journal of Geotechnical Engineering*, **107**(GT2), pp. 167-181 (1981).
14. Swedish Standard "Vibration and shock- Guidance levels and measuring of vibrations in buildings originating from piling, sheet piling, excavating and packing to estimate permitted vibration levels", (In Swedish). SS 02 52 11, Swedish Institute for Standards, SIS. Stockholm 1999, 7 p. (1999).
15. Goble, G.G., Rausche, F. and Lihs, G.E. "The analysis of pile driving- a state-of-the- art", Int. Seminm. on Appl. Stress- Wave Theory on Piles, Stockholm, pp. 131-161 (1980).
16. Jimeno, E.L., Jimino, C.L. and Carcedo, A., *Drilling and Blasting of Rocks*, Taylor & Francis, Rev Upd Su edition (1995).
17. Tsang, H.H., Chandler, A.M. and Lam, N.T.K. "Simple models for estimation period-shift and damping in soil", *Earthquake Engineering and Structural Dynamics*, **35**(15), pp. 1925-1947 (2006).
18. Amorosi, A., Boldini, D. and Elia, G. "Parametric study on seismic ground response by finite element modelling", *J. Computers and Geotechnics*, **37**(4), pp. 515-528 (2010).